



AXA

UNA REVISTA DE ARTE Y ARQUITECTURA

**Víctor Acosta Cobacho**

Un puente de maqueta o modelo

**UNIVERSIDAD ALFONSO X EL SABIO**

Villanueva de la Cañada, MMIX



© del texto: Victor Acosta Cobacho

mayo de 2010

<https://www.uax.es/publicaciones/axa.htm>

© de la edición: AxA. Una revista de arte y arquitectura

Universidad Alfonso X el Sabio

28691 - Villanueva de la Cañada (Madrid)

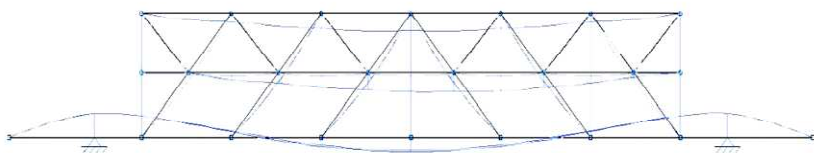
Editor: Isabel de Cárdenas Maestre - [axa@uax.es](mailto:axa@uax.es)

No está permitida la reproducción total o parcial de este artículo ni su almacenamiento o transmisión, ya sea electrónico, químico, mecánico, por fotocopia u otros métodos, sin permiso previo por escrito de la revista.



**UN PUENTE DE MAQUETA O MODELO.***Un puente de paso en Chile.***Víctor Acosta Cobacho***Coordinador de Área de Estructuras.**Profesor de Tipos Estructurales Y Análisis de estructuras.**Universidad Alfonso X el Sabio. Facultad de Arquitectura (Villanueva de la Cañada)*

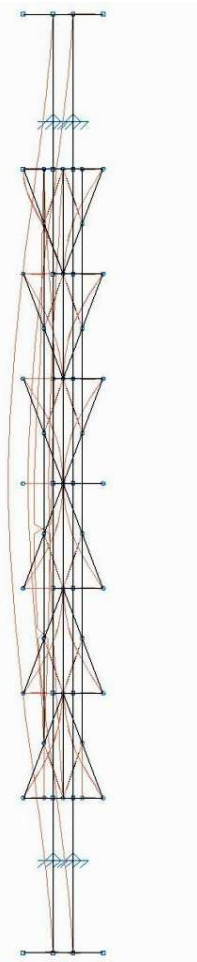
De la mano del profesor Jesús Bermejo y con motivo de la recién inaugurada exposición sobre arquitectura chilena en el museo de arte Reina Sofía “Desvíos a la deriva. Experiencias, travesías y morfologías” nos llega la oportunidad de analizar el diseño de un puente de paso de madera. Todo ello con un esquema artesanal, intuitivo pero también tecnológico. Resulta francamente atractivo poder acercarnos a este puente ligero.



El puente se realiza enteramente en madera y con uniones artesanales mediante pasadores del mismo material, que interpretaremos como uniones articuladas. Dos troncos longitudinales constituyen su el cuerpo central. Se le añaden piezas transversales para aumentarle la anchura. Sobre estos largueros transversales se dispone un listonado de madera que hace las veces de tablero del puente. Además una estructura de barras tridimensional configura el resto de la construcción. El material empleado es madera de eucalipto que se encuentra en el propio lugar.

De un primer análisis general, visual, y tras elaborar unos simples croquis, abordamos las primeras suposiciones sobre el comportamiento del puente y sobre su diseño estructural. Para ello debemos de generar un modelo estructural válido. Para poder generar un modelo estructural tenemos abstraer siempre la realidad, simplificarla y conseguir un modelo racional que sirva para el análisis, deducir certezas y estar suficientemente seguros de nuestras decisiones. Esto es lo que vamos a realizar a continuación.

Lo primera simplificación, reduciendo el esquema, los bocetos y los dibujos a un modelo muy básico, es el de una viga biapoyada simple. A esta viga se le añaden dos



voladizos simétricos con contrapesos para aumentar los momentos negativos en los apoyos y así poder disminuir los positivos en el centro del vano del puente. Se trata de una solución intuitiva que optimiza la estructura. Además encontramos toda una configuración constructiva secundaria a base de listones de madera, que trabajan como un conjunto de barras trianguladas con nudos articulados, formando así una estructura tridimensional de tetraedros que, además de ayudar a delimitar el espacio interior del puente y de tener un carácter funcional: proteger de posibles caídas, proporciona rigidez frente a las oscilaciones horizontales, causadas por el viento o debidas al propio movimiento de las personas en el puente.

### Primer análisis: Viga biapoyada simple

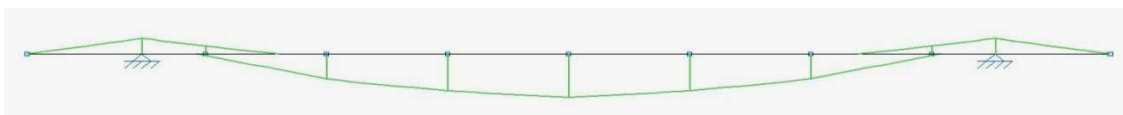


Fig: Envolvente de diagrama de momentos flectores de la estructura

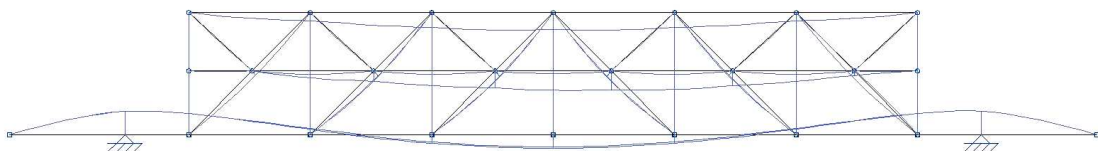
Al disponer de dos troncos repartiremos la carga por cada uno de ellos, de tal manera que la mitad de la carga se transmita a través del conjunto de listones que configura el tablero. Disponemos la carga de tres personas más una posible carga adicional, siendo un total de 1 kN por cada persona, unos 100 kg. de carga puntual. El peso debido a los troncos en cada extremo se aproximará a 1 kN en cada extremo. Para cuantificar el desplazamiento horizontal y las posibles oscilaciones disponemos una carga horizontal de 1kN en el punto central más desfavorable y de 0,5 kN cerca de los apoyos. Si suponemos que es una madera con una resistencia a flexión baja de 18 N/mm<sup>2</sup>, y la peor situación posible de cargas, obtenemos que la viga está soportando un momento flector positivo máximo de 9 m. × kN. Esto implica que la viga tiene una resistencia suficiente. La deformación, un L/128, no es relevante al tratarse de un puente flexible. Teniendo 160 cm<sup>3</sup> de sección resistente implica que las tensiones en la sección con momento máximo no superan los 18 N/mm<sup>2</sup> de resistencia máxima a flexión de una madera tipo C-14. Al no tener catalogada la calidad del eucalipto empleado asumimos el tipo C-14 que está entre los que tienen una resistencia menor.



## Segundo análisis: Viga biapoyada con estructura de barras articuladas trianguladas hiper estáticas

En este segundo análisis se añade al modelo la estructura de barras articuladas, todas ellas formadas por elementos de madera de poca sección que obliga a la estructura a trabajar a tracción cuando por su disposición está trabajando a compresión. Pero los modelos son caprichosos y cuando las barras no pueden trabajar como el modelo requiere resulta que trabajan como pueden, ayudando a resistir la flexión mucho menos que si las barras estuvieran dimensionadas correctamente. Entramos así en la capacidad plástica del modelo.

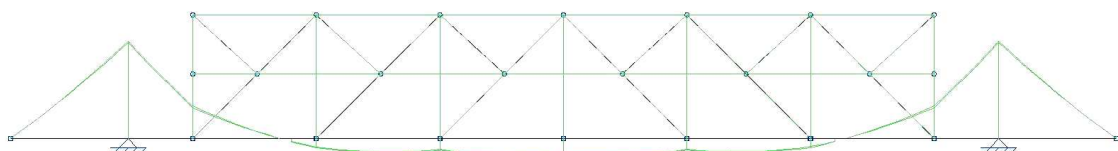
Fig: deformación vertical de la estructura



El cordón superior debe de trabajar la flexión a compresión pero no puede por su escasa condición resistente. No colapsa debido a la elasticidad del material y a la flexibilidad de las uniones del sistema. Las diagonales cortas en el sentido de la tracción permiten dar mas flexibilidad a la estructura global y en las diagonales a compresión disminuirá longitud de pandeo y los efectos de éste producidos por la compresión.

Se producen momentos flectores cerca de los apoyos debido a que el sistema de barras no se cierra con los apoyos. Al estar cerca de éstos y al ser los esfuerzos que se producen en las barras también pequeños hacen que no sea significativo para la estructura. La entidad del sistema de barras trianguladas es escasa, así la flexión es soportada principalmente por el cordón inferior formado por los dos largueros de madera de mayor sección.

Fig: diagrama de momentos flectores de la estructura



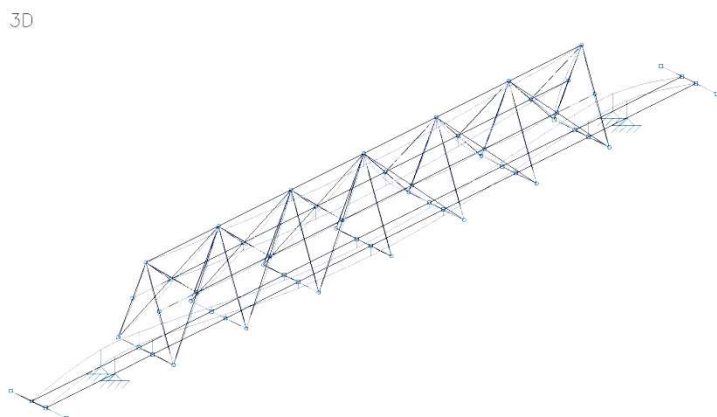
Si comparamos los modelos, el de viga simple con el de barras articuladas, sacamos las siguientes conclusiones:

- La deformación horizontal es sensiblemente menor en el análisis II frente al análisis I
- La deformación vertical del modelo de barras es menor y mejora las condiciones previas del modelo I.

|                           | ANÁLISIS I | ANÁLISIS II |
|---------------------------|------------|-------------|
| DESPLAZAMIENTO HORIZONTAL | 10,9 mm    | 7 mm        |
| DESPLAZAMIENTO VERTICAL   | 96 mm      | 6 mm        |

### Conclusiones sobre el modelo

La flexión del puente se resuelve principalmente con la sección de los dos pares de troncos longitudinales. La disposición de contrapesos en los extremos de las vigas longitudinales produce la contra-flecha necesaria para reducir la deformación en el centro del vano.

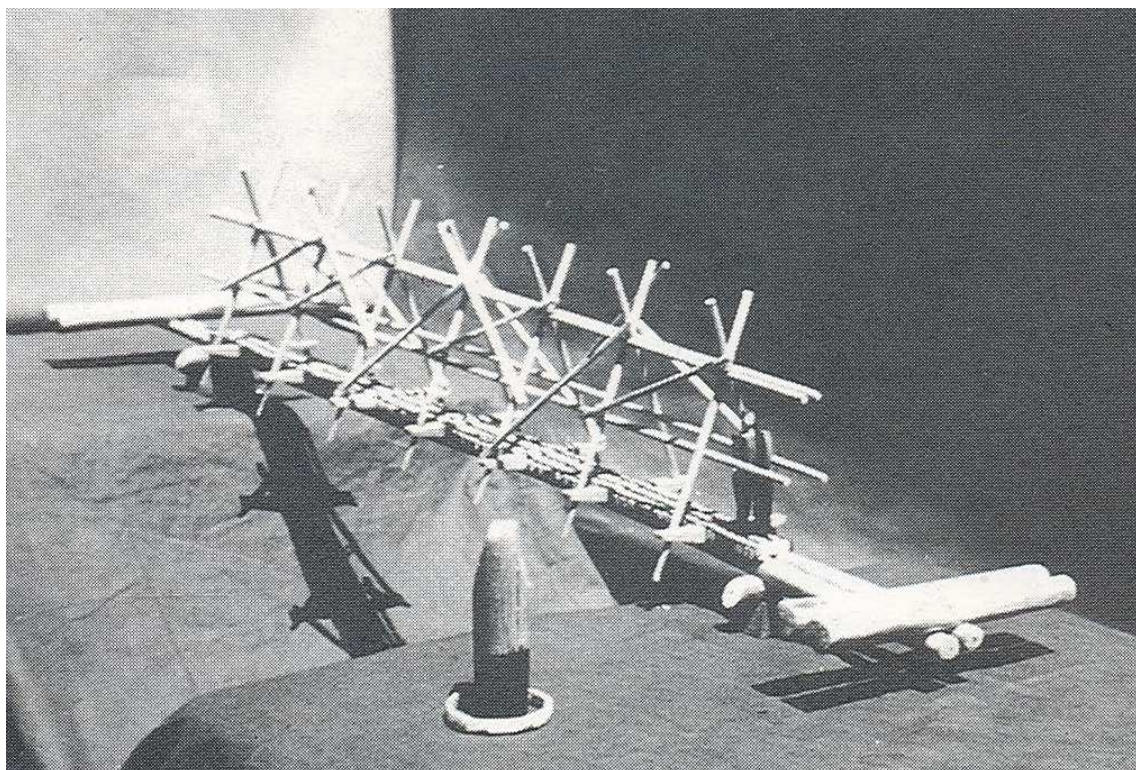


El modelo de barras trianguladas y nudos articulados no responde a un modelo de barras trianguladas como tal, ya que la estructura triangulada no llega hasta los apoyos. Esto genera momentos flectores en los troncos longitudinales cerca de los apoyos. Éstos no son relevantes debido a que los esfuerzos y la distancia a los apoyos son pequeños.

La deformación horizontal y las posibles oscilaciones son soportadas mejor por el conjunto de barras articuladas.

Es la deformación horizontal la que indudablemente mejora con el sistema de barras añadido, siendo mucho menor el desplazamiento horizontal respecto del modelo con una única viga biapoyada.

El modelo considera la estructura como enteramente solidaria. Es bastante probable que en la realidad lo fuera en menor medida. La colaboración de este sistema de barras será menor en la realidad que en el modelo de cálculo. El real se aproximará a un modelo intermedio entre el análisis I y II. Ni el caso pésimo de viga biapoyada (modelo I) ni el del modelo II de barras articuladas solidarias entre sí. Todo recuerda a soluciones similares de puentes realizados con bambú, material mucho más flexible que el eucalipto.



La estructura resulta de gran ingenio e intuición, ya que logra a base de aproximaciones previas y de maquetas un modelo que funciona y tiene un indudable atractivo estético. A ello se le añade la simplicidad y la lógica de los materiales y uniones realizadas.

Uniones artesanales de gran calidad técnica, frente a lo superfluo de la tecnología actual, que implica soluciones caras y complejas. En este caso tecnología bien entendida, comprendiendo bien los medios y los materiales con los que se contaba.

En definitiva: de una maqueta a un puente de paso que nunca fue pero que podrá ser algún día.

Víctor Acosta Cobacho

Arquitecto

Coordinador de Área de Estructuras

Universidad Alfonso X el Sabio

#### FOTOGRAFIAS:

Gentileza de **D. Jesús Bermejo Goday**

#### BIBLIOGRAFIA:

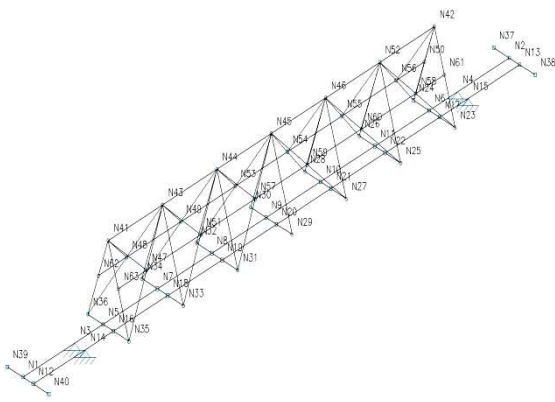
ARGÜELLES ÁLVAREZ, Ramón y Francisco ARRIAGA MARTITEGUI: *Estructuras de madera, diseño y cálculo*, Madrid, Asociación de Investigación Técnica de las Industrias de la Madera y el Corcho, 2000.

GARCÍA BAELL, JOSÉ JAVIER: CÁLCULO DE ESTRUCTURAS DE MADERA, *cálculo para windows de estructuras de madera por los estado límite últimos y el Eurocódigo 5*. Madrid, Editorial Bellisco. Ediciones Técnicas y Científicas, 2000.

GARCÍA DEL MONTE, JOSÉ MARÍA CON LA COMISIÓN DE EXPERTOS DEL CONEJO SUPERIOR DE ARQUITECTOS DE ESPAÑA Y CONSEJO GENERAL DE ARQUITECTOS TÉCNICOS Y APAREJADORES DE ESPAÑA: *Documento de aplicación a viviendas del código técnico de seguridad estructural madera*. Madrid, CSCAE, 2008.



#### ANEJO: RESULTADOS MÁS SIGNIFICATIVOS DE LOS MODELOS DE CÁLCULO



## RESULTADOS MAS SIGNIFICATIVOS ANALISIS I VIGA BIAPOYADA

| Envolvente de los desplazamientos en nudos |                 |                               |                                  |        |         |          |          |          |
|--|-----------------|-------------------------------|----------------------------------|--------|---------|----------|----------|----------|
| Referencia                                 | Combinación     |                               | Desplazamientos en ejes globales |        |         |          |          |          |
|  | Tipo            | Descripción                   | Dx (m)                           | Dy (m) | Dz (m)  | Gx (rad) | Gy (rad) | Gz (rad) |
| N1   | Desplazamientos | Valor mínimo de la envolvente | 0.0000                           | 0.0000 | 0.0041  | -0.0184  | 0.0000   | 0.0000   |
|  |                 | Valor máximo de la envolvente | 0.0403                           | 0.0000 | 0.0380  | -0.0015  | 0.0000   | 0.0201   |
| N2   | Desplazamientos | Valor mínimo de la envolvente | 0.0000                           | 0.0000 | 0.0041  | 0.0015   | 0.0000   | -0.0201  |
|  |                 | Valor máximo de la envolvente | 0.0403                           | 0.0000 | 0.0380  | 0.0184   | 0.0000   | 0.0000   |
| N3   | Desplazamientos | Valor mínimo de la envolvente | 0.0000                           | 0.0000 | 0.0000  | -0.0204  | 0.0000   | 0.0000   |
|  |                 | Valor máximo de la envolvente | 0.0000                           | 0.0000 | 0.0000  | -0.0034  | 0.0000   | 0.0201   |
| N4   | Desplazamientos | Valor mínimo de la envolvente | 0.0000                           | 0.0000 | 0.0000  | 0.0034   | 0.0000   | -0.0201  |
|  |                 | Valor máximo de la envolvente | 0.0000                           | 0.0000 | 0.0000  | 0.0204   | 0.0000   | 0.0000   |
| N5   | Desplazamientos | Valor mínimo de la envolvente | -0.0220                          | 0.0000 | -0.0234 | -0.0216  | 0.0000   | 0.0000   |
|  |                 | Valor máximo de la envolvente | 0.0000                           | 0.0000 | -0.0048 | -0.0051  | 0.0000   | 0.0196   |
| N6   | Desplazamientos | Valor mínimo de la envolvente | -0.0220                          | 0.0000 | -0.0234 | 0.0051   | 0.0000   | -0.0196  |
|  |                 | Valor máximo de la envolvente | 0.0000                           | 0.0000 | -0.0048 | 0.0216   | 0.0000   | 0.0000   |
| N7   | Desplazamientos | Valor mínimo de la envolvente | -0.0599                          | 0.0000 | -0.0667 | -0.0184  | 0.0000   | 0.0000   |
|  |                 | Valor máximo de la envolvente | 0.0000                           | 0.0000 | -0.0165 | -0.0055  | 0.0000   | 0.0157   |
| N8   | Desplazamientos | Valor mínimo de la envolvente | -0.0859                          | 0.0000 | -0.0976 | -0.0104  | 0.0000   | 0.0000   |
|  |                 | Valor máximo de la envolvente | 0.0000                           | 0.0000 | -0.0262 | -0.0034  | 0.0000   | 0.0088   |
| N9   | Desplazamientos | Valor mínimo de la envolvente | -0.0956                          | 0.0000 | -0.1089 | 0.0000   | 0.0000   | -0.0000  |
|  |                 | Valor máximo de la envolvente | 0.0000                           | 0.0000 | -0.0299 | 0.0000   | 0.0000   | 0.0000   |
| N10  | Desplazamientos | Valor mínimo de la envolvente | -0.0859                          | 0.0000 | -0.0976 | 0.0034   | 0.0000   | -0.0088  |
|  |                 | Valor máximo de la envolvente | 0.0000                           | 0.0000 | -0.0262 | 0.0104   | 0.0000   | 0.0000   |
| N11  | Desplazamientos | Valor mínimo de la envolvente | -0.0599                          | 0.0000 | -0.0667 | 0.0055   | 0.0000   | -0.0157  |
|  |                 | Valor máximo de la envolvente | 0.0000                           | 0.0000 | -0.0165 | 0.0184   | 0.0000   | 0.0000   |

| Barra   | P<br>(%) | Posición<br>(m) | Esfuerzos pésimos |            |            |              |              |              | Origen |
|---------|----------|-----------------|-------------------|------------|------------|--------------|--------------|--------------|--------|
|         |          |                 | N<br>(KN)         | Vy<br>(KN) | Vz<br>(KN) | Mt<br>(KN·m) | My<br>(KN·m) | Mz<br>(KN·m) |        |
| N1/N3   | 35.571   | 2.000           | 0.000             | 0.000      | 1.769      | 0.000        | -3.119       | 0.000        | G      |
| N3/N5   | 35.571   | 0.000           | 0.000             | 0.000      | -1.552     | 0.000        | -3.119       | 0.000        | G      |
| N5/N7   | 112.807  | 2.100           | 0.000             | 1.500      | -2.231     | 0.000        | 5.093        | -4.800       | G      |
| N7/N8   | 157.361  | 2.100           | 0.000             | 0.750      | -0.890     | 0.000        | 7.425        | -6.375       | G      |
| N8/N9   | 191.370  | 2.100           | 0.000             | 0.750      | -0.450     | 0.000        | 8.832        | -7.950       | G      |
| N9/N10  | 191.370  | 0.000           | 0.000             | -0.750     | 0.450      | 0.000        | 8.832        | -7.950       | G      |
| N10/N11 | 157.361  | 0.000           | 0.000             | -0.750     | 0.890      | 0.000        | 7.425        | -6.375       | G      |
| N11/N6  | 112.807  | 0.000           | 0.000             | -1.500     | 2.231      | 0.000        | 5.093        | -4.800       | G      |
| N6/N4   | 35.571   | 1.100           | 0.000             | 0.000      | 1.552      | 0.000        | -3.119       | 0.000        | G      |
| N4/N2   | 35.571   | 0.000           | 0.000             | 0.000      | -1.769     | 0.000        | -3.119       | 0.000        | G      |

**RESULTADOS MÁS SIGNIFICATIVOS ANALISIS II CONJUNTO DE BARRAS TRIANGULADAS ARTICULADAS:**

| Envolvente de los desplazamientos en nudos |                 |                               |                                  |           |           |             |             |         |
|--|-----------------|-------------------------------|----------------------------------|-----------|-----------|-------------|-------------|---------|
| Referencia                                 | Combinación     |                               | Desplazamientos en ejes globales |           |           |             |             |         |
|  | Tipo            | Descripción                   | Dx<br>(m)                        | Dy<br>(m) | Dz<br>(m) | Gx<br>(rad) | Gy<br>(rad) |         |
| N1   | Desplazamientos | Valor mínimo de la envolvente | -0.0000                          | -0.0000   | -0.0040   | 0.0026      | -0.0001     | 0.0000  |
|  |                 | Valor máximo de la envolvente | 0.0019                           | 0.0000    | -0.0040   | 0.0026      | -0.0001     | 0.0007  |
| N2   | Desplazamientos | Valor mínimo de la envolvente | 0.0000                           | 0.0000    | -0.0040   | -0.0026     | -0.0001     | -0.0007 |
|  |                 | Valor máximo de la envolvente | 0.0019                           | 0.0000    | -0.0040   | -0.0026     | -0.0001     | -0.0000 |
| N3   | Desplazamientos | Valor mínimo de la envolvente | 0.0000                           | 0.0000    | 0.0000    | 0.0006      | -0.0007     | -0.0000 |
|  |                 | Valor máximo de la envolvente | 0.0000                           | 0.0000    | 0.0000    | 0.0006      | -0.0006     | 0.0012  |
| N4   | Desplazamientos | Valor mínimo de la envolvente | 0.0000                           | 0.0000    | 0.0000    | -0.0006     | -0.0006     | -0.0012 |
|  |                 | Valor máximo de la envolvente | 0.0000                           | 0.0000    | 0.0000    | -0.0006     | -0.0005     | 0.0000  |
| N5   | Desplazamientos | Valor mínimo de la envolvente | -0.0014                          | -0.0000   | -0.0004   | -0.0009     | -0.0010     | 0.0001  |
|  |                 | Valor máximo de la envolvente | 0.0000                           | -0.0000   | -0.0004   | -0.0009     | -0.0008     | 0.0013  |
| N6   | Desplazamientos | Valor mínimo de la envolvente | -0.0014                          | 0.0000    | -0.0004   | 0.0009      | -0.0009     | -0.0013 |
|  |                 | Valor máximo de la envolvente | -0.0000                          | 0.0000    | -0.0004   | 0.0009      | -0.0008     | -0.0001 |
| N7   | Desplazamientos | Valor mínimo de la envolvente | -0.0042                          | -0.0000   | -0.0031   | -0.0013     | -0.0001     | 0.0001  |
|  |                 | Valor máximo de la envolvente | 0.0000                           | -0.0000   | -0.0029   | -0.0012     | 0.0006      | 0.0011  |
| N8   | Desplazamientos | Valor mínimo de la envolvente | -0.0063                          | -0.0000   | -0.0053   | -0.0008     | 0.0006      | 0.0000  |
|  |                 | Valor máximo de la envolvente | 0.0000                           | -0.0000   | -0.0050   | -0.0007     | 0.0018      | 0.0007  |
| N9   | Desplazamientos | Valor mínimo de la envolvente | -0.0071                          | -0.0000   | -0.0061   | 0.0000      | 0.0009      | 0.0000  |
|  |                 | Valor máximo de la envolvente | 0.0000                           | -0.0000   | -0.0059   | 0.0000      | 0.0021      | 0.0000  |
| N10  | Desplazamientos | Valor mínimo de la envolvente | -0.0063                          | 0.0000    | -0.0052   | 0.0007      | 0.0006      | -0.0007 |
|  |                 | Valor máximo de la envolvente | 0.0000                           | 0.0000    | -0.0050   | 0.0008      | 0.0018      | -0.0000 |
| N11  | Desplazamientos | Valor mínimo de la envolvente | -0.0042                          | 0.0000    | -0.0031   | 0.0012      | -0.0001     | -0.0011 |
|  |                 | Valor máximo de la envolvente | -0.0000                          | 0.0000    | -0.0029   | 0.0013      | 0.0006      | -0.0001 |
| N12  | Desplazamientos | Valor mínimo de la envolvente | -0.0000                          | -0.0000   | -0.0040   | 0.0026      | 0.0001      | -0.0000 |
|  |                 | Valor máximo de la envolvente | 0.0019                           | 0.0000    | -0.0040   | 0.0026      | 0.0002      | 0.0007  |
| N13  | Desplazamientos | Valor mínimo de la envolvente | 0.0000                           | -0.0000   | -0.0040   | -0.0026     | 0.0001      | -0.0007 |
|  |                 | Valor máximo de la envolvente | 0.0019                           | -0.0000   | -0.0040   | -0.0026     | 0.0002      | 0.0000  |



|     |                 |                               |         |         |         |         |         |         |
|-----|-----------------|-------------------------------|---------|---------|---------|---------|---------|---------|
| N14 | Desplazamientos | Valor mínimo de la envolvente | 0.0000  | 0.0000  | 0.0000  | 0.0006  | 0.0007  | 0.0000  |
|     |                 | Valor máximo de la envolvente | 0.0000  | 0.0000  | 0.0000  | 0.0006  | 0.0008  | 0.0012  |
| N15 | Desplazamientos | Valor mínimo de la envolvente | 0.0000  | 0.0000  | 0.0000  | -0.0006 | 0.0007  | -0.0012 |
|     |                 | Valor máximo de la envolvente | 0.0000  | 0.0000  | 0.0000  | -0.0006 | 0.0008  | -0.0000 |
| N16 | Desplazamientos | Valor mínimo de la envolvente | -0.0014 | -0.0000 | -0.0004 | -0.0009 | 0.0010  | -0.0001 |
|     |                 | Valor máximo de la envolvente | 0.0000  | 0.0000  | -0.0004 | -0.0009 | 0.0011  | 0.0012  |
| N17 | Desplazamientos | Valor mínimo de la envolvente | -0.0014 | -0.0000 | -0.0004 | 0.0009  | 0.0009  | -0.0012 |
|     |                 | Valor máximo de la envolvente | -0.0000 | 0.0000  | -0.0004 | 0.0009  | 0.0011  | 0.0001  |
| N18 | Desplazamientos | Valor mínimo de la envolvente | -0.0042 | -0.0000 | -0.0032 | -0.0014 | 0.0002  | -0.0001 |
|     |                 | Valor máximo de la envolvente | 0.0000  | 0.0000  | -0.0031 | -0.0013 | 0.0009  | 0.0010  |
| N19 | Desplazamientos | Valor mínimo de la envolvente | -0.0063 | -0.0000 | -0.0055 | -0.0008 | -0.0006 | -0.0000 |
|     |                 | Valor máximo de la envolvente | 0.0000  | 0.0000  | -0.0053 | -0.0008 | 0.0006  | 0.0006  |
| N20 | Desplazamientos | Valor mínimo de la envolvente | -0.0071 | -0.0000 | -0.0064 | 0.0000  | -0.0008 | 0.0000  |
|     |                 | Valor máximo de la envolvente | 0.0000  | -0.0000 | -0.0061 | 0.0000  | 0.0004  | 0.0000  |
| N21 | Desplazamientos | Valor mínimo de la envolvente | -0.0063 | -0.0000 | -0.0055 | 0.0008  | -0.0006 | -0.0006 |
|     |                 | Valor máximo de la envolvente | -0.0000 | 0.0000  | -0.0053 | 0.0008  | 0.0006  | 0.0000  |
| N22 | Desplazamientos | Valor mínimo de la envolvente | -0.0042 | -0.0000 | -0.0032 | 0.0013  | 0.0002  | -0.0010 |
|     |                 | Valor máximo de la envolvente | -0.0000 | 0.0000  | -0.0031 | 0.0014  | 0.0009  | 0.0001  |
| N23 | Desplazamientos | Valor mínimo de la envolvente | -0.0014 | 0.0001  | -0.0018 | -       | -       | -       |
|     |                 | Valor máximo de la envolvente | 0.0000  | 0.0007  | -0.0018 | -       | -       | -       |
| N24 | Desplazamientos | Valor mínimo de la envolvente | -0.0014 | 0.0007  | -0.0017 | 0.0006  | -0.0026 | -0.0022 |
|     |                 | Valor máximo de la envolvente | -0.0000 | 0.0012  | -0.0017 | 0.0006  | -0.0026 | -0.0014 |
| N25 | Desplazamientos | Valor mínimo de la envolvente | -0.0042 | 0.0001  | -0.0038 | -       | -       | -       |
|     |                 | Valor máximo de la envolvente | -0.0000 | 0.0006  | -0.0033 | -       | -       | -       |
| N26 | Desplazamientos | Valor mínimo de la envolvente | -0.0042 | 0.0006  | -0.0032 | -       | -       | -       |
|     |                 | Valor máximo de la envolvente | -0.0000 | 0.0010  | -0.0026 | -       | -       | -       |
| N27 | Desplazamientos | Valor mínimo de la envolvente | -0.0063 | 0.0000  | -0.0054 | -       | -       | -       |
|     |                 | Valor máximo de la envolvente | -0.0000 | 0.0002  | -0.0044 | -       | -       | -       |
| N28 | Desplazamientos | Valor mínimo de la envolvente | -0.0063 | 0.0002  | -0.0044 | -       | -       | -       |
|     |                 | Valor máximo de la envolvente | 0.0000  | 0.0005  | -0.0035 | -       | -       | -       |
| N29 | Desplazamientos | Valor mínimo de la envolvente | -0.0072 | 0.0000  | -0.0059 | -       | -       | -       |
|     |                 | Valor máximo de la envolvente | 0.0000  | 0.0000  | -0.0048 | -       | -       | -       |
| N30 | Desplazamientos | Valor mínimo de la envolvente | -0.0071 | -0.0000 | -0.0048 | -       | -       | -       |
|     |                 | Valor máximo de la envolvente | 0.0000  | -0.0000 | -0.0037 | -       | -       | -       |
| N31 | Desplazamientos | Valor mínimo de la envolvente | -0.0063 | -0.0003 | -0.0054 | -       | -       | -       |
|     |                 | Valor máximo de la envolvente | 0.0000  | -0.0000 | -0.0045 | -       | -       | -       |
| N32 | Desplazamientos | Valor mínimo de la envolvente | -0.0062 | -0.0005 | -0.0044 | -       | -       | -       |
|     |                 | Valor máximo de la envolvente | 0.0000  | -0.0003 | -0.0035 | -       | -       | -       |
| N33 | Desplazamientos | Valor mínimo de la envolvente | -0.0042 | -0.0006 | -0.0039 | -       | -       | -       |
|     |                 | Valor máximo de la envolvente | 0.0000  | -0.0001 | -0.0033 | -       | -       | -       |
| N34 | Desplazamientos | Valor mínimo de la envolvente | -0.0042 | -0.0010 | -0.0033 | -       | -       | -       |
|     |                 | Valor máximo de la envolvente | 0.0000  | -0.0006 | -0.0027 | -       | -       | -       |
| N35 | Desplazamientos | Valor mínimo de la envolvente | -0.0014 | -0.0007 | -0.0019 | -       | -       | -       |
|     |                 | Valor máximo de la envolvente | 0.0000  | -0.0001 | -0.0018 | -       | -       | -       |
| N36 | Desplazamientos | Valor mínimo de la envolvente | -0.0014 | -0.0013 | -0.0018 | -       | -       | -       |
|     |                 | Valor máximo de la envolvente | -0.0000 | -0.0007 | -0.0018 | -       | -       | -       |
| N37 | Desplazamientos | Valor mínimo de la envolvente | 0.0000  | 0.0000  | -0.0041 | -0.0026 | -0.0001 | -0.0007 |
|     |                 | Valor máximo de la envolvente | 0.0019  | 0.0004  | -0.0041 | -0.0026 | -0.0001 | -0.0000 |
| N38 | Desplazamientos | Valor mínimo de la envolvente | 0.0000  | -0.0004 | -0.0042 | -0.0026 | 0.0001  | -0.0007 |
|     |                 | Valor máximo de la envolvente | 0.0019  | 0.0000  | -0.0041 | -0.0026 | 0.0002  | 0.0000  |
| N39 | Desplazamientos | Valor mínimo de la envolvente | -0.0000 | -0.0004 | -0.0041 | 0.0026  | -0.0001 | 0.0000  |
|     |                 | Valor máximo de la envolvente | 0.0019  | -0.0000 | -0.0040 | 0.0026  | -0.0001 | 0.0007  |
| N40 | Desplazamientos | Valor mínimo de la envolvente | -0.0000 | -0.0000 | -0.0041 | 0.0026  | 0.0002  | -0.0000 |
|     |                 | Valor máximo de la envolvente | 0.0019  | 0.0004  | -0.0041 | 0.0026  | 0.0002  | 0.0007  |



|     |                 |                               |         |         |         |   |   |   |
|-----|-----------------|-------------------------------|---------|---------|---------|---|---|---|
| N41 | Desplazamientos | Valor mínimo de la envolvente | -0.0014 | 0.0005  | -0.0018 | - | - | - |
|     |                 | Valor máximo de la envolvente | 0.0000  | 0.0005  | -0.0018 | - | - | - |
| N42 | Desplazamientos | Valor mínimo de la envolvente | -0.0014 | -0.0006 | -0.0018 | - | - | - |
|     |                 | Valor máximo de la envolvente | 0.0000  | -0.0006 | -0.0018 | - | - | - |
| N43 | Desplazamientos | Valor mínimo de la envolvente | -0.0027 | 0.0005  | -0.0032 | - | - | - |
|     |                 | Valor máximo de la envolvente | 0.0000  | 0.0005  | -0.0032 | - | - | - |
| N44 | Desplazamientos | Valor mínimo de la envolvente | -0.0038 | 0.0003  | -0.0044 | - | - | - |
|     |                 | Valor máximo de la envolvente | 0.0000  | 0.0003  | -0.0044 | - | - | - |
| N45 | Desplazamientos | Valor mínimo de la envolvente | -0.0042 | -0.0000 | -0.0047 | - | - | - |
|     |                 | Valor máximo de la envolvente | 0.0000  | -0.0000 | -0.0047 | - | - | - |
| N46 | Desplazamientos | Valor mínimo de la envolvente | -0.0038 | -0.0003 | -0.0043 | - | - | - |
|     |                 | Valor máximo de la envolvente | 0.0000  | -0.0003 | -0.0043 | - | - | - |
| N47 | Desplazamientos | Valor mínimo de la envolvente | -0.0040 | -0.0001 | -0.0033 | - | - | - |
|     |                 | Valor máximo de la envolvente | -0.0019 | 0.0001  | -0.0033 | - | - | - |
| N48 | Desplazamientos | Valor mínimo de la envolvente | -0.0003 | -0.0003 | -0.0032 | - | - | - |
|     |                 | Valor máximo de la envolvente | 0.0019  | -0.0001 | -0.0032 | - | - | - |
| N49 | Desplazamientos | Valor mínimo de la envolvente | -0.0019 | -0.0002 | -0.0047 | - | - | - |
|     |                 | Valor máximo de la envolvente | 0.0021  | -0.0001 | -0.0044 | - | - | - |
| N50 | Desplazamientos | Valor mínimo de la envolvente | -0.0023 | 0.0001  | -0.0014 | - | - | - |
|     |                 | Valor máximo de la envolvente | -0.0009 | 0.0003  | -0.0014 | - | - | - |
| N51 | Desplazamientos | Valor mínimo de la envolvente | -0.0061 | -0.0001 | -0.0050 | - | - | - |
|     |                 | Valor máximo de la envolvente | -0.0021 | 0.0001  | -0.0047 | - | - | - |
| N52 | Desplazamientos | Valor mínimo de la envolvente | -0.0027 | -0.0005 | -0.0032 | - | - | - |
|     |                 | Valor máximo de la envolvente | 0.0000  | -0.0005 | -0.0032 | - | - | - |
| N53 | Desplazamientos | Valor mínimo de la envolvente | -0.0031 | -0.0001 | -0.0055 | - | - | - |
|     |                 | Valor máximo de la envolvente | 0.0021  | -0.0000 | -0.0051 | - | - | - |
| N54 | Desplazamientos | Valor mínimo de la envolvente | -0.0030 | 0.0000  | -0.0055 | - | - | - |
|     |                 | Valor máximo de la envolvente | 0.0022  | 0.0001  | -0.0051 | - | - | - |
| N55 | Desplazamientos | Valor mínimo de la envolvente | -0.0023 | 0.0001  | -0.0045 | - | - | - |
|     |                 | Valor máximo de la envolvente | 0.0016  | 0.0002  | -0.0042 | - | - | - |
| N56 | Desplazamientos | Valor mínimo de la envolvente | -0.0026 | 0.0001  | -0.0023 | - | - | - |
|     |                 | Valor máximo de la envolvente | -0.0003 | 0.0003  | -0.0023 | - | - | - |
| N57 | Desplazamientos | Valor mínimo de la envolvente | -0.0073 | -0.0000 | -0.0059 | - | - | - |
|     |                 | Valor máximo de la envolvente | -0.0020 | 0.0000  | -0.0055 | - | - | - |
| N58 | Desplazamientos | Valor mínimo de la envolvente | -0.0040 | -0.0001 | -0.0032 | - | - | - |
|     |                 | Valor máximo de la envolvente | -0.0019 | 0.0001  | -0.0032 | - | - | - |
| N59 | Desplazamientos | Valor mínimo de la envolvente | -0.0073 | -0.0001 | -0.0059 | - | - | - |
|     |                 | Valor máximo de la envolvente | -0.0020 | 0.0000  | -0.0055 | - | - | - |
| N60 | Desplazamientos | Valor mínimo de la envolvente | -0.0061 | -0.0001 | -0.0049 | - | - | - |
|     |                 | Valor máximo de la envolvente | -0.0021 | 0.0001  | -0.0047 | - | - | - |
| N61 | Desplazamientos | Valor mínimo de la envolvente | -0.0017 | -0.0001 | -0.0019 | - | - | - |
|     |                 | Valor máximo de la envolvente | -0.0003 | 0.0001  | -0.0019 | - | - | - |
| N62 | Desplazamientos | Valor mínimo de la envolvente | -0.0011 | -0.0003 | -0.0020 | - | - | - |
|     |                 | Valor máximo de la envolvente | 0.0004  | -0.0001 | -0.0019 | - | - | - |
| N63 | Desplazamientos | Valor mínimo de la envolvente | -0.0017 | -0.0001 | -0.0020 | - | - | - |
|     |                 | Valor máximo de la envolvente | -0.0003 | 0.0001  | -0.0020 | - | - | - |



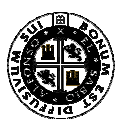
| Barra   | P<br>(%) | Posición<br>(m) | Esfuerzos pésimos |            |            |              |              |              |
|---------|----------|-----------------|-------------------|------------|------------|--------------|--------------|--------------|
|         |          |                 | N<br>(KN)         | Vy<br>(KN) | Vz<br>(KN) | Mt<br>(KN·m) | My<br>(KN·m) | Mz<br>(KN·m) |
| N1/N3   | 36.769   | 2.000           | 0.000             | 0.013      | 1.810      | -0.052       | -3.200       | -0.025       |
| N3/N5   | 37.107   | 0.000           | -1.119            | -0.225     | -2.090     | -0.052       | -3.200       | -0.025       |
| N5/N7   | 14.321   | 0.000           | -0.340            | -0.204     | -0.846     | 0.075        | -1.028       | -0.218       |
| N7/N8   | 7.911    | 2.100           | 1.805             | 0.226      | 0.188      | 0.114        | 0.332        | -0.614       |
| N8/N9   | 12.903   | 2.100           | 3.964             | 0.334      | 0.098      | 0.035        | 0.591        | -0.898       |
| N9/N10  | 12.903   | 0.000           | 3.965             | -0.334     | -0.095     | -0.034       | 0.591        | -0.898       |
| N10/N11 | 7.884    | 0.000           | 1.813             | -0.227     | -0.183     | -0.113       | 0.326        | -0.616       |
| N11/N6  | 14.276   | 2.100           | -0.324            | 0.202      | 0.836      | -0.074       | -1.025       | -0.217       |
| N6/N4   | 37.159   | 1.100           | -1.147            | 0.222      | 2.102      | 0.051        | -3.204       | -0.024       |
| N4/N2   | 36.814   | 0.000           | 0.001             | -0.013     | -1.812     | 0.051        | -3.204       | -0.024       |
| N12/N14 | 36.844   | 2.000           | 0.000             | -0.013     | 1.813      | 0.053        | -3.207       | 0.024        |
| N14/N16 | 37.186   | 0.000           | -1.130            | 0.224      | -2.100     | 0.053        | -3.207       | 0.024        |
| N16/N18 | 15.301   | 0.000           | 1.463             | 0.922      | -0.882     | -0.014       | -1.081       | 0.855        |
| N18/N19 | 9.512    | 2.100           | -1.165            | 0.481      | 0.181      | -0.025       | 0.388        | -0.829       |
| N19/N20 | 12.586   | 2.100           | -2.763            | 0.407      | 0.106      | -0.013       | 0.626        | -0.949       |
| N20/N21 | 12.585   | 0.000           | -2.764            | -0.406     | -0.103     | 0.013        | 0.626        | -0.949       |
| N21/N22 | 9.446    | 0.000           | -1.161            | -0.478     | -0.179     | 0.024        | 0.382        | -0.827       |
| N22/N17 | 15.341   | 2.100           | 1.475             | -0.920     | 0.881      | 0.011        | -1.089       | 0.851        |
| N17/N15 | 37.129   | 1.100           | -1.102            | -0.223     | 2.088      | -0.051       | -3.202       | 0.025        |
| N15/N13 | 36.796   | 0.000           | -0.001            | 0.013      | -1.811     | -0.051       | -3.202       | 0.025        |
| N6/N17  | 77.449   | 0.000           | 0.361             | 4.260      | 0.042      | 0.002        | -0.442       | 0.880        |
| N17/N23 | 91.781   | 0.000           | 0.342             | 0.773      | -0.981     | 0.000        | -0.579       | 0.464        |
| N24/N6  | 91.443   | 0.600           | 0.343             | -0.821     | 1.048      | 0.006        | -0.573       | 0.467        |
| N11/N22 | 47.338   | 0.000           | -0.280            | 3.581      | -0.001     | 0.004        | -0.072       | 0.742        |
| N22/N25 | 40.322   | 0.000           | 0.018             | 0.654      | -0.131     | 0.000        | -0.069       | 0.392        |
| N26/N11 | 40.056   | 0.600           | 0.019             | -0.654     | 0.126      | 0.000        | -0.066       | 0.392        |
| N10/N21 | 41.324   | 0.000           | -0.146            | 2.127      | -0.048     | 0.002        | 0.277        | 0.434        |
| N21/N27 | 43.298   | 0.000           | -0.235            | 0.274      | 0.532      | 0.000        | 0.329        | 0.164        |
| N28/N10 | 43.350   | 0.600           | -0.235            | -0.275     | -0.532     | 0.000        | 0.329        | 0.165        |
| N9/N20  | 22.019   | 0.200           | -0.024            | 0.000      | 0.000      | 0.000        | 0.081        | 0.000        |
| N20/N29 | 34.958   | 0.000           | -0.089            | 0.000      | 0.206      | 0.000        | 0.128        | 0.000        |
| N30/N9  | 34.978   | 0.600           | -0.089            | 0.000      | -0.206     | 0.000        | 0.128        | 0.000        |
| N8/N19  | 41.361   | 0.000           | -0.145            | -2.129     | -0.047     | -0.002       | 0.277        | -0.434       |
| N19/N31 | 43.744   | 0.000           | -0.235            | -0.281     | 0.533      | 0.000        | 0.329        | -0.169       |
| N32/N8  | 43.646   | 0.600           | -0.235            | 0.279      | -0.533     | 0.000        | 0.329        | -0.168       |
| N7/N18  | 47.757   | 0.000           | -0.277            | -3.583     | -0.004     | -0.004       | -0.079       | -0.742       |
| N18/N33 | 41.111   | 0.000           | 0.020             | -0.663     | -0.138     | 0.000        | -0.073       | -0.398       |
| N34/N7  | 41.038   | 0.600           | 0.020             | 0.661      | 0.138      | 0.000        | -0.073       | -0.397       |
| N5/N16  | 78.625   | 0.000           | 0.371             | -4.256     | 0.022      | -0.002       | -0.462       | -0.880       |
| N16/N35 | 93.955   | 0.000           | 0.353             | -0.784     | -1.011     | 0.000        | -0.597       | -0.470       |
| N36/N5  | 93.669   | 0.600           | 0.352             | 0.782      | 1.008      | 0.000        | -0.595       | -0.469       |
| N37/N2  | 0.823    | 0.600           | 0.000             | 0.000      | 0.031      | 0.000        | -0.009       | 0.000        |
| N2/N13  | 30.143   | 0.400           | 0.013             | 2.280      | 0.028      | 0.000        | -0.064       | -0.454       |



|         |         |       |        |        |        |       |        |        |
|---------|---------|-------|--------|--------|--------|-------|--------|--------|
| N13/N38 | 0.823   | 0.000 | 0.000  | 0.000  | -0.031 | 0.000 | -0.009 | 0.000  |
| N39/N1  | 0.823   | 0.600 | 0.000  | 0.000  | 0.031  | 0.000 | -0.009 | 0.000  |
| N1/N12  | 30.250  | 0.400 | 0.013  | -2.279 | 0.030  | 0.000 | -0.066 | 0.454  |
| N12/N40 | 0.823   | 0.000 | 0.000  | 0.000  | -0.031 | 0.000 | -0.009 | 0.000  |
| N41/N43 | 13.620  | 2.100 | -0.287 | 0.000  | 0.017  | 0.000 | -0.006 | 0.000  |
| N43/N44 | 91.873  | 0.000 | -2.527 | 0.000  | -0.015 | 0.000 | -0.006 | 0.000  |
| N44/N45 | 143.030 | 2.100 | -4.024 | 0.000  | 0.014  | 0.000 | -0.004 | 0.000  |
| N45/N46 | 143.224 | 0.000 | -4.029 | 0.000  | -0.014 | 0.000 | -0.004 | 0.000  |
| N46/N52 | 92.035  | 2.100 | -2.532 | 0.000  | 0.015  | 0.000 | -0.006 | 0.000  |
| N52/N42 | 13.450  | 0.000 | -0.282 | 0.000  | -0.017 | 0.000 | -0.006 | 0.000  |
| N35/N47 | 34.823  | 1.605 | -1.139 | 0.008  | 0.005  | 0.000 | 0.004  | -0.014 |
| N47/N43 | 33.771  | 0.000 | -1.278 | -0.009 | -0.004 | 0.000 | 0.004  | -0.014 |
| N36/N48 | 34.422  | 1.605 | -1.136 | -0.008 | 0.005  | 0.000 | 0.004  | 0.013  |
| N48/N43 | 33.400  | 0.000 | -1.276 | 0.009  | -0.004 | 0.000 | 0.004  | 0.013  |
| N34/N49 | 32.935  | 1.605 | -0.959 | -0.009 | 0.004  | 0.000 | 0.006  | 0.015  |
| N49/N44 | 34.843  | 0.000 | -1.233 | 0.010  | -0.003 | 0.000 | 0.006  | 0.015  |
| N33/N51 | 32.766  | 1.605 | -0.962 | 0.009  | 0.004  | 0.000 | 0.006  | -0.015 |
| N51/N44 | 34.748  | 0.000 | -1.240 | -0.010 | -0.003 | 0.000 | 0.006  | -0.015 |
| N32/N53 | 21.361  | 1.605 | -0.401 | -0.009 | 0.004  | 0.000 | 0.007  | 0.015  |
| N53/N45 | 16.844  | 0.000 | -0.218 | 0.010  | -0.003 | 0.000 | 0.007  | 0.015  |
| N31/N57 | 21.060  | 1.605 | -0.404 | 0.009  | 0.004  | 0.000 | 0.006  | -0.014 |
| N57/N45 | 16.573  | 0.000 | -0.223 | -0.010 | -0.003 | 0.000 | 0.006  | -0.014 |
| N47/N41 | 5.619   | 0.767 | -0.368 | 0.000  | 0.000  | 0.000 | 0.002  | 0.000  |
| N48/N41 | 5.003   | 0.767 | 0.719  | 0.000  | 0.000  | 0.000 | 0.003  | 0.000  |
| N49/N43 | 5.896   | 0.767 | 0.887  | 0.000  | 0.000  | 0.000 | 0.003  | 0.000  |
| N48/N49 | 7.046   | 2.100 | 0.937  | 0.000  | 0.016  | 0.000 | -0.005 | 0.000  |
| N49/N53 | 13.212  | 2.100 | 2.094  | 0.000  | 0.013  | 0.000 | -0.003 | -0.002 |
| N53/N54 | 15.021  | 1.004 | 2.412  | 0.000  | 0.000  | 0.000 | 0.003  | -0.002 |
| N54/N55 | 13.719  | 2.100 | 2.085  | -0.002 | 0.014  | 0.000 | -0.003 | 0.004  |
| N55/N56 | 8.307   | 2.100 | 0.912  | 0.003  | 0.015  | 0.000 | -0.005 | -0.003 |
| N56/N50 | 5.335   | 0.000 | -0.014 | -0.003 | -0.012 | 0.000 | -0.005 | -0.003 |
| N51/N43 | 4.608   | 0.767 | 0.356  | 0.000  | 0.000  | 0.000 | 0.003  | 0.000  |
| N24/N56 | 50.893  | 0.000 | -1.188 | 0.023  | -0.014 | 0.000 | -0.012 | 0.031  |
| N56/N52 | 27.586  | 0.000 | -1.300 | -0.004 | -0.008 | 0.000 | -0.001 | -0.006 |
| N23/N58 | 34.483  | 1.605 | -1.122 | -0.008 | 0.005  | 0.000 | 0.004  | 0.014  |
| N58/N52 | 33.445  | 0.000 | -1.260 | 0.009  | -0.004 | 0.000 | 0.004  | 0.014  |
| N26/N55 | 29.369  | 1.605 | -0.949 | 0.007  | 0.005  | 0.000 | 0.004  | -0.011 |
| N55/N46 | 31.559  | 0.000 | -1.237 | -0.008 | -0.004 | 0.000 | 0.004  | -0.011 |
| N25/N60 | 32.498  | 1.605 | -0.949 | -0.009 | 0.004  | 0.000 | 0.006  | 0.015  |
| N60/N46 | 34.491  | 0.000 | -1.226 | 0.010  | -0.003 | 0.000 | 0.006  | 0.015  |
| N28/N54 | 21.561  | 1.605 | -0.394 | 0.009  | 0.003  | 0.000 | 0.007  | -0.015 |
| N54/N45 | 17.176  | 0.000 | -0.218 | -0.010 | -0.002 | 0.000 | 0.007  | -0.015 |
| N27/N59 | 20.829  | 1.605 | -0.393 | -0.009 | 0.004  | 0.000 | 0.006  | 0.014  |
| N59/N45 | 16.441  | 0.000 | -0.216 | 0.010  | -0.003 | 0.000 | 0.006  | 0.014  |
| N53/N44 | 4.263   | 0.767 | -0.129 | 0.000  | 0.000  | 0.000 | 0.003  | 0.000  |
| N54/N46 | 4.111   | 0.767 | -0.121 | 0.000  | 0.000  | 0.000 | 0.003  | 0.000  |
| N55/N52 | 5.949   | 0.767 | 0.897  | 0.000  | 0.000  | 0.000 | 0.003  | 0.000  |

UNIVERSIDAD ALFONSO X EL SABIO

Villanueva de la Cañada, MMIX



|         |        |       |        |        |        |       |        |        |
|---------|--------|-------|--------|--------|--------|-------|--------|--------|
| N56/N42 | 4.994  | 0.767 | 0.717  | 0.000  | 0.000  | 0.000 | 0.003  | 0.000  |
| N24/N50 | 22.266 | 0.000 | -0.203 | 0.011  | -0.014 | 0.000 | -0.023 | 0.010  |
| N50/N42 | 9.226  | 0.000 | -0.186 | -0.003 | -0.011 | 0.000 | -0.009 | -0.003 |
| N36/N62 | 6.088  | 1.172 | -0.543 | 0.000  | 0.000  | 0.000 | 0.004  | 0.000  |
| N62/N41 | 5.460  | 0.000 | -0.536 | 0.000  | 0.002  | 0.000 | 0.004  | 0.000  |
| N35/N63 | 4.817  | 1.172 | -0.181 | 0.000  | 0.000  | 0.000 | 0.004  | 0.000  |
| N63/N41 | 4.457  | 0.000 | -0.174 | 0.000  | 0.002  | 0.000 | 0.004  | 0.000  |
| N57/N44 | 7.943  | 0.767 | -0.525 | 0.000  | 0.000  | 0.000 | 0.003  | 0.000  |
| N58/N42 | 5.645  | 0.767 | -0.370 | 0.000  | 0.000  | 0.000 | 0.002  | 0.000  |
| N59/N46 | 7.894  | 0.767 | -0.521 | 0.000  | 0.000  | 0.000 | 0.003  | 0.000  |
| N60/N52 | 4.595  | 0.767 | 0.354  | 0.000  | 0.000  | 0.000 | 0.003  | 0.000  |
| N23/N61 | 4.575  | 1.172 | -0.161 | 0.000  | 0.000  | 0.000 | 0.004  | 0.000  |
| N61/N42 | 4.247  | 0.000 | -0.154 | 0.000  | 0.002  | 0.000 | 0.004  | 0.000  |
| N47/N51 | 14.814 | 1.050 | -0.543 | 0.000  | 0.000  | 0.000 | 0.005  | 0.000  |
| N51/N57 | 24.261 | 1.050 | -0.949 | 0.000  | 0.000  | 0.000 | 0.005  | 0.000  |
| N57/N59 | 37.535 | 1.004 | -1.662 | 0.000  | 0.000  | 0.000 | 0.005  | 0.000  |
| N59/N60 | 24.351 | 1.050 | -0.953 | 0.000  | 0.000  | 0.000 | 0.005  | 0.000  |
| N60/N58 | 14.877 | 1.050 | -0.546 | 0.000  | 0.000  | 0.000 | 0.005  | 0.000  |
| N58/N61 | 1.195  | 0.548 | 0.000  | 0.000  | 0.000  | 0.000 | 0.002  | 0.000  |
| N62/N48 | 1.195  | 0.548 | 0.000  | 0.000  | 0.000  | 0.000 | 0.002  | 0.000  |
| N63/N47 | 1.195  | 0.548 | 0.000  | 0.000  | 0.000  | 0.000 | 0.002  | 0.000  |
| N34/N43 | 6.752  | 1.124 | 0.622  | 0.000  | 0.000  | 0.000 | 0.003  | 0.000  |
| N33/N43 | 6.768  | 1.124 | 0.624  | 0.000  | 0.000  | 0.000 | 0.003  | 0.000  |
| N32/N44 | 9.228  | 1.124 | 0.933  | 0.000  | 0.000  | 0.000 | 0.003  | 0.000  |
| N31/N44 | 9.243  | 1.124 | 0.935  | 0.000  | 0.000  | 0.000 | 0.003  | 0.000  |
| N29/N45 | 3.793  | 1.124 | 0.251  | 0.000  | 0.000  | 0.000 | 0.003  | 0.000  |
| N30/N45 | 3.794  | 1.124 | 0.251  | 0.000  | 0.000  | 0.000 | 0.003  | 0.000  |
| N25/N52 | 6.746  | 1.124 | 0.622  | 0.000  | 0.000  | 0.000 | 0.003  | 0.000  |
| N26/N52 | 6.782  | 1.124 | 0.626  | 0.000  | 0.000  | 0.000 | 0.003  | 0.000  |
| N27/N46 | 9.171  | 1.124 | 0.926  | 0.000  | 0.000  | 0.000 | 0.003  | 0.000  |
| N28/N46 | 9.181  | 1.124 | 0.927  | 0.000  | 0.000  | 0.000 | 0.003  | 0.000  |

